

یک رویکرد کنترل تطبیقی جدید برای پایش پروفایلهای خطی چندگانه

امیرحسین امیری* (استادیار)

محمد حسنی انوهی (کارشناس ارشد)

گروه مهندسی صنایع، دانشگاه شاهد

مهمنشی
صنایع و مدیریت
دروی ۱۰۰، شماره ۱ / ۱۳۹۰،
شوفی، (آستانه ۱۴۰۰) پاییزش فصل

در سال‌های اخیر پایش پروفایلهای، که در آن کیفیت محصول یا عملکرد فرایند بهوسیله‌ی رابطه‌ی رگرسیونی بین یک متغیر پاسخ و یک یا چند متغیر مستقل توصیف می‌شود، مورد توجه محققین قرار گرفته است. این رابطه در پروفایلهای اندواع مختلفی دارد — نظر رگرسیون خطی ساده، رگرسیون خطی چندگانه، رگرسیون غیرخطی و رگرسیون هیبتی بر مدل‌های خطی تعیین‌بافته — که برای پایش آنها روش‌هایی ارائه شده است. از سوی دیگر، محققین روش‌های تطبیقی^۱ مختلفی برای بهبود عملکرد نمودارهای کنترل در کشف شیفت‌های پدید آمده در پارامترهای مدل به کار گرفته‌اند. در این نوشتار نیز به طور خاص بر نمودار کنترل میانگین متحرک وزن نمایی چندمتغیره (MEWMA)^۲ برای پایش پروفایلهای خطی چندگانه متمرکز شده و با تطبیقی کردن ضریب هموارسازی عملکرد روش را بهبود بخشیده‌ایم. این بهبود از طریق مطالعات شبیه‌سازی و مقایسه‌ی معیار متوسط طول دنباله^۳ در قالب دو مثال نشان داده شده است.

واژگان کلیدی: نمودار کنترل تطبیقی، پروفایل، میانگین متحرک وزن نمایی
چندمتغیره، متوسط طول دنباله.

amiri@shahed.ac.ir
m.hasani@ shahed.ac.ir

۱. مقدمه

عمودی تخته‌های نویان و عمق‌های مختلف به صورت یک پروفایل غیرخطی مطرح شد.^[۱]

محققین روش‌های متعددی برای اندواع پروفایلهای — از جمله برای پایش پروفایلهای خطی ساده،^[۲] پایش پروفایلهای خطی چندگانه،^[۳,۴] پایش پروفایلهای خطی چندجمله‌ای،^[۵,۶] پایش پروفایلهای لجستیک^[۷] و پایش پروفایلهای غیرخطی^[۸,۹] — توسعه داده‌اند. درخصوص اندواع پروفایلهای و روش‌های پایش آنها مطالعات و مقالات متعددی منتشر شده است. از طرف دیگر ادبیات نمودارهای کنترل برای پایش مشخصه‌های کیفی تک متغیره و چندمتغیره نشان می‌دهد که چنانچه پارامترهای نمودار کنترل شامل اندازه نمونه^۵ (n)، فاصله‌ی زمانی بین نمونه‌ها^۶ (h)، ضریب حدود کنترل^۷ (k)، یا سایر پارامترها (به عنوان مثال ضریب هموارسازی^۸ در نمودار کنترل (EWMA) ثابت در نظر گرفته شود، نمودارهای کنترل در کشف تغییرات کوچک تا متوسط عملکرد خوبی از خود نشان نمی‌دهند. لذا روشی تحت عنوان «روش تطبیقی» توسط محققین مطرح شد تا عملکرد نمودارهای کنترل تقویت شود. این بدان معناست که پارامترهای نمودارهای کنترل را می‌توان بسته به شرایط تغییر داد. نمودارهای کنترل مجهز به روش‌های تطبیقی را «نمودارهای کنترل تطبیقی»^۹ می‌نامند. در دهه‌های اخیر نمودارهای کنترل تطبیقی بسیاری مورد استفاده قرار گرفته‌اند. درخصوص این نمودارها مقالاتی نیز ارائه شده است. آنها در جدول ۱ ارائه شده است. در این جدول مطالعات مرتبط بر حسب نوع پروفایل،

کنترل فرایند آماری^{۱۰} در پایش فرایندهای مختلف صنعتی کاربرد گسترده‌ی دارد. بیشتر پژوهش‌های انجام شده در حوزه‌ی SPC، بر نمودارهای کنترل متمرکز است و فرض شده که کیفیت یک فرایند یا محصول می‌تواند به طور مناسبی بهوسیله‌ی توزیع یک یا چند مشخصه کیفی توصیف شود؛ اما در بسیاری از کاربردها، کیفیت یک محصول یا عملکرد یک فرایند را می‌توان بهوسیله‌ی یک رابطه خطی بین یک متغیر پاسخ و یک یا چند متغیر مستقل بهتر توصیف کرد. محققین این رابطه را «پروفایل» می‌نامند. در پایش پروفایلهای، رابطه‌های رگرسیون متفاوتی بین متغیر پاسخ و یک یا چند متغیر مستقل در نظر گرفته شده است، نظر رگرسیون خطی ساده، رگرسیون خطی چندگانه یا چندجمله‌ای، رگرسیون غیرخطی و رگرسیون هیبتی بر مدل‌های خطی چندگانه پایه‌اند. بیشترین کاربرد پروفایلهای خطی در بحث‌های مربوط به کالیبراسیون است. یکی از کاربردهای پایش پروفایلهای خطی در بحث‌های کالیبراسیون در صنایع ساخت نیمه‌هادی معرفی شده است.^[۱۱] همچنین با استفاده از پایش پروفایلهای پایداری (تحت کنترل بودن) منحنی‌های کالیبراسیون خطی در ترکیب دو ماده‌ی شیمیایی برسی شده است.^[۱۲] پژوهش‌گران در کالیبراسیون خطی رنگ‌نگاری یون چندسطحی به‌منظور پایش پایداری پاسخ ابزار و تناوب مناسب کالیبراسیون از پایش پروفایلهای استفاده کردند.^[۱۳] یکی دیگر از کاربرد پروفایلهای اندازه‌گیری یک متغیر در نقاط مختلف یک محصول است. به عنوان مثالی از این کاربرد، رابطه‌ی بین چگالی

* نویسنده مسئول

تاریخ: دریافت ۱۶/۹/۱۳۹۰، اصلاحیه ۱۳/۱۲/۱۳۹۰، پذیرش ۲۹/۱/۱۳۹۱

جدول ۱. مقالات در زمینه روش های تطبیقی در پایش پروفایل ها.

عنوان مقاله و سال	فاز	نمودار کنترلی	نوع پروفایل	روش تطبیقی	نوع طراحی
[۲۴]	۲	EWMA ^۳	خطی ساده	ضریب هموارسازی	آماری
[۲۵]	۲	EWMA ^۳	خطی ساده	فاصله‌ی نمونه‌گیری متغیر*	آماری
[۷]	۲	MEWMA	خطی چندگانه	فاصله‌ی نمونه‌گیری متغیر	آماری
[۲۶]	۲	ELR	خطی ساده	فاصله‌ی نمونه‌گیری متغیر	آماری

* variable sampling interval

روش تطبیقی به کار گرفته شده، نوع نمودار کنترل، نوع فاز و نوع طراحی دسته بندی روی حد کنترل بالای نمودار نمی‌گذارد:

$$\mathbf{z}_j(\beta) = \frac{\hat{\boldsymbol{\beta}}_j - \boldsymbol{\beta}}{\sigma}, \quad (2)$$

$$\mathbf{z}_j(\sigma) = \phi^{-1} \left\{ F \left(\frac{(n-p)\hat{\sigma}_j^T}{\sigma}; n-p \right) \right\}, \quad (3)$$

در رابطه‌های فوق:

$$\hat{\sigma}_j^T = \frac{1}{n-p} (\mathbf{y}_j - \mathbf{X}\hat{\boldsymbol{\beta}}_j)^T (\mathbf{y}_j - \mathbf{X}\hat{\boldsymbol{\beta}}_j), \quad (4)$$

$$\hat{\boldsymbol{\beta}}_j = (\mathbf{X}^T \mathbf{X})^{-1} \mathbf{X}^T \mathbf{y}_j, \quad (5)$$

همچنین $(v)^0 - \phi$ معکوستابع توزیع تجمعی نرمال استاندارد و $F(v)^0$ تابع توزیع مجدد کا با n درجه آزادی است. وقتی که فرایند تحت کنترل آماری است، مشخصه‌ی کیفی \mathbf{z}_j یک توزیع نرمال $p+1$ متغیره با بردار میانگین صفر و ماتریس کواریانس $\begin{pmatrix} (\mathbf{X}^T \mathbf{X})^{-1} & 0 \\ 0 & \dots \\ 0 & 1 \end{pmatrix} = \sum$ دارد. آماره‌ی نمودار کنترل MEWMA چنین تعریف می‌شود:

$$\mathbf{w}_j = \lambda \mathbf{z}_j + (1-\lambda) \mathbf{w}_{j-1}, \quad j = 1, 2, \dots, \quad (6)$$

که در آن \mathbf{w}_0 بردار آغازین $p+1$ بعدی است و مقدار آن در اینجا برابر با بردار صفر است؛ λ نیز ضریب هموارسازی نمایی است. نمودار کنترل MEWMA زمانی هشدار می‌دهد که:

$$U_j = \mathbf{w}_j^T \Sigma^{-1} \mathbf{w}_j > L \frac{\lambda}{2-\lambda}, \quad (7)$$

در رابطه‌ی ۷ ($>$) طوری تنظیم می‌شود که متوسط طول دنباله تحت کنترل خاصی به دست آید. لازم به ذکر است در حال حاضر سه روش کلی برای محاسبه‌ی ARL وجود دارد که عبارت‌اند از: روش زنجیره‌ی مارکوف، [۲۰-۲۷] روش انتگرال‌گیری [۲۸-۳۱] و روش شبیه‌سازی رایانه‌یی [۳۵-۳۶]. روشی که ما در اینجا برای محاسبه‌ی ARL به کار می‌گیریم، روش شبیه‌سازی رایانه‌یی است. علاوه بر این روش‌ها، روش‌های تقریبی دیگری نیز مورد توجه بوده است. [۲۶]

۳. روش پیشنهادی: نمودار کنترل میانگین متحرک

موزون نمایی چندمتغیره‌ی تطبیقی^{۱۰}

برای طراحی یک نمودار کنترل MEWMA طراحان باید یک مقدار منطقی برای ضریب هموارسازی (λ) انتخاب کنند. ضریب هموارسازی در نمودار کنترل میانگین

روش تطبیقی به کار گرفته شده، نوع فاز و نوع طراحی دسته بندی شده‌اند.

به طور کلی استفاده از نمودارهای کنترل برای پایش فرایندها در دو فاز ۱ و ۲ صورت می‌گیرد. در فاز ۱ پارامترهای فرایند نامعلوم‌اند و هدف بررسی پایداری فرایند و برآورد پارامترهای نامعلوم است. این در حالی است که هدف از فاز ۲ کشف شیفت در زودترین زمان ممکن است و پارامترهای فرایند معلوم فرض می‌شود. تمرکز این نوشتار به طور خاص بر نمودار کنترل MEWMA [۷] برای پایش پروفایل‌های خطی چندگانه در فاز ۲ بود و با تطبیقی کردن ضریب هموارسازی نمودار کنترل MEWMA عملکرد روش در کشف شیفت در پارامترهای رگرسیون بهبود داده شده است. عملکرد روش پیشنهادی با استفاده از شبیه‌سازی و مقایسه‌ی متوسط طول دنباله با عملکرد نمودار کنترل MEWMA از طریق دو مثال عددی مورد بررسی قرار گرفته است.

در این نوشتار ابتدا در مورد نمودار کنترل میانگین متحرک موزون نمایی چندمتغیره [۷] توضیح داده می‌شود (بخش ۲). سپس در بخش ۳ رویکرد پیشنهادی برای تطبیقی کردن نمودار کنترل MEWMA ارائه می‌شود. در بخش ۴ نیز عملکرد روش پیشنهادی و نمودار کنترل غیر تطبیقی [۷] مقایسه می‌شود. در نهایت، نتیجه‌گیری ارائه خواهد شد.

۲. نمودار کنترل میانگین متحرک موزون نمایی چندمتغیره
در این بخش توضیحی در خصوص نمودار کنترل MEWMA [۷] برای پایش پروفایل خطی چندگانه ارائه می‌شود. در این روش فرض می‌شود که زامن نمونه‌ی تصادفی به صورت $(\mathbf{X}_j, \mathbf{y}_j)$ است، که در آن \mathbf{y}_j برداری شامل n_j مشاهده و \mathbf{X}_j یک ماتریس $p \times n_j$ است. وقتی که فرایند تحت کنترل آماری است، پروفایل خطی چندگانه چنین نوشته می‌شود:

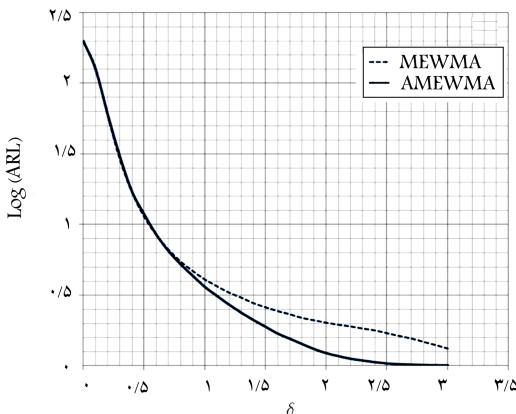
$$\mathbf{y}_j = \mathbf{X}_j \boldsymbol{\beta} + \boldsymbol{\epsilon}_j, \quad (8)$$

که در آن $\boldsymbol{\beta}^T = (\beta_1, \beta_2, \dots, \beta_p) = \boldsymbol{\beta}$ بردار ضرایب p بعدی و $\boldsymbol{\epsilon}_j$ یک بردار تصادفی نرمال چندمتغیره با میانگین 0 و ماتریس کواریانس \mathbf{I}^p هستند که مستقل و هم توزیع‌اند. بدون این که خللی در محاسبات وارد شود، برای در نظر گرفتن پارامتر عرض از مبدأ در محاسبات، بردار سنتوئی $\mathbf{1}_{n_j \times 1}$ را به اولین ستون ماتریس \mathbf{X}_j اضافه می‌کنیم. در اینجا فرض شده است که \mathbf{z}_j ها برابر مساوی n و \mathbf{z}_j ها برای مقادیر مختلف ز ثابت و برای \mathbf{X} هستند. زمانی که پروفایل خطی چندگانه‌ی رابطه‌ی ۱ پاش می‌شود $1+p$ پارامتر شامل p ضریب رگرسیون ($\boldsymbol{\beta}$) و انحراف استاندارد (σ) باید به طور همزمان کنترل شوند. طراحان این روش [۷] یک مشخصه‌ی کیفی به صورت $(\mathbf{z}_j(\boldsymbol{\beta}), \mathbf{z}_j(\sigma))$ \mathbf{z}_j را تعریف کرده و آن را با نمودار MEWMA کنترل می‌کنند. در این مشخصه‌ی کیفی $(\mathbf{z}_j(\boldsymbol{\beta}) \text{ و } \mathbf{z}_j(\sigma))$ به ترتیب به صورت رابطه‌های ۲

متوجه موزون نمایی چندمتغیره همواره عددی بین صفر و ۱ است و هرچه مقدار این ضریب به عدد صفر نزدیک باشد، نمودار کنترل MEWMA در کشف شیفت‌های کوچک بهتر عمل می‌کند؛ بر عکس هرچه این عدد به ۱ نزدیک‌تر باشد نمودار در کشف شیفت‌های بزرگ بهتر عمل خواهد کرد.

$$y_{ij} = 3 + 2x_i + \varepsilon_{ij},$$

مقدار L با شبیه‌سازی برای نمودار کنترل AMEWMA برابر ۱۳ و برای نمودار کنترل MEWMA برابر $1/\lambda$ انتخاب شده است تا متوسط طول دنباله‌ی تحت کنترل در هر دو روش MEWMA و AMEWMA یکسان و برابر 20° شود. متوسط طول دنباله‌ی خارج از کنترل نمودارهای MEWMA و AMEWMA به سیله‌ی $10,000$ شبیه‌سازی (که در ادبیات موضوع کنترل فرازیند آماری معمولاً از این تعداد شبیه‌سازی استفاده شده که منجر به نتایجی با خطای کم خواهد شد) تحت شیفت‌های ایجاد شده در σ , β_1 و β_0 محاسبه و در جدول ۲ خلاصه شده است. در این شبیه‌سازی برای تنظیم مقدار ضریب حد کنترل ابتدا فرض کرده‌ایم که فرازیند تحت کنترل آماری است و هیچ انحراف یادلیلی در فرازیند رخ نداده است، سپس با قرار دادن یک مقدار مشخص برای ضریب حد کنترل، شروع به نمونه‌گیری در شبیه‌سازی کرده‌ایم و تعداد تکرارها را تا این که مقدار آماره هر بار نمونه‌گیری خارج از حد کنترل قرار بگیرد ثبت و میانگین $10,000$ بار تکرار این عمل را به عنوان خروجی ARL در نظر گرفته و با سعی و خطا در مقادیر مختلف L به مقادیر ARL تحت کنترل 20° دست پیدا کرده‌ایم. همچنین در این مثال، منحنی نمودارهای AMEWMA و MEWMA تحت شیفت‌های ایجاد شده در عرض از ARL نمودارهای کنترل 20° دست نداشته‌اند. در این مثال، منحنی در عرض از ARL به مقدار λ در رابطه‌ی فوق γ یک بردار $(p+1)$ از مقادیر ثابت است که مقدار آن از طریق سعی و خطای در شبیه‌سازی به دست می‌آید تا ضمن کسب ARL تحت کنترل 20° ، بهترین عملکرد نمودار در کشف شیفت‌های ایجاد شده در پارامترهای فرازیند به دست آید. مشاهده می‌شود که وقتی ارزش قدر مطلق خطای پیش‌بینی $-\gamma$ — یعنی $(z_j^T - w_{j-1}^T)(\Sigma^{-0.5}\gamma)$ — کوچک است، رابطه‌ی max در مخرج مقدار ۱ را اتخاذ می‌کند و در نتیجه مقدار ۰ برابر λ و آماره‌ی نمودار کنترل AMEWMA مشابه آماره‌ی نمودار کنترل MEWMA می‌شود. به علاوه، زمانی که مقدار خطای پیش‌بینی استاندارد شده بزرگ شود (به سمت بی‌نهایت بود)، مقدار مخرج رابطه بزرگ تر شده و در نتیجه θ افزایش می‌یابد تا عملکرد نمودار در کشف شیفت‌های متوسط تا بزرگ بهبود بخشد. در نهایت مقدار θ به سمت ۱ همگرا می‌شود و در نتیجه، نمودار کنترل MEWMA به یک نمودار کنترل شوهرات تبدیل می‌شود. نمودار کنترل AMEWMA نیز مشابه نمودار کنترل MEWMA زمانی هشدار می‌دهد که رابطه‌ی 7 برقرار باشد.



شکل ۱. منحنی ARL شیفت‌های ایجاد شده در عرض از مبدأ پروفایل خطی ساده از β_0 به 85° .

هدف اصلی انتخاب مقداری مناسب بین مقادیر بزرگ و کوچک λ است که در نتیجه به عنوان راه حلی ساده می‌توان مقدار ضریب هموارسازی ثابت (λ) را با یک ضریب هموارسازی وابسته به خطای پیش‌بینی در پارامترهای مدل جایگزین کرد، به طوری که وقتی شیفت‌های کوچک در پارامترهای مدل رخ می‌دهد این ضریب نیز مقدار کوچکی به خود بگیرد و در صورتی که شیفت‌های بزرگ در پارامترهای مدل رخ دهند، مقدار ضریب هموارسازی بزرگ شود تا از این طریق بتوان هم شیفت‌های کوچک و هم شیفت‌های بزرگ را سریع‌تر کشف کرد. علاوه بر این، این ضریب باید مقداری بین صفر و ۱ به خود بگیرد؛ لذا آماره‌ی نمودار کنترل تطبیقی MEWMA به صورت رابطه‌ی λ تعریف می‌شود، به طوری که با انتخاب یک مقدار کوچک برای λ عملکرد روش پیشنهادی در کشف شیفت‌های کوچک شبیه به نمودار کنترل MEWMA می‌شود و با افزایش شیفت در پارامترهای مدل مقدار ضریب هموارسازی نیز تعديل می‌شود (افزایش می‌یابد) تا عملکرد روش بهبود یابد:

$$w_j = \theta z_j + (1 - \theta) w_{j-1}, \quad j = 1, 2, \dots, \quad (8)$$

w_0 برابر مقدار 0° و ضریب هموارسازی جدید θ است که به سیله‌ی رابطه‌ی θ به صورت زیر به دست می‌آید:

$$\theta = 1 - \frac{1 - \lambda}{\max(1, (z_j^T - w_{j-1}^T)(\Sigma^{-0.5}\gamma))}, \quad (9)$$

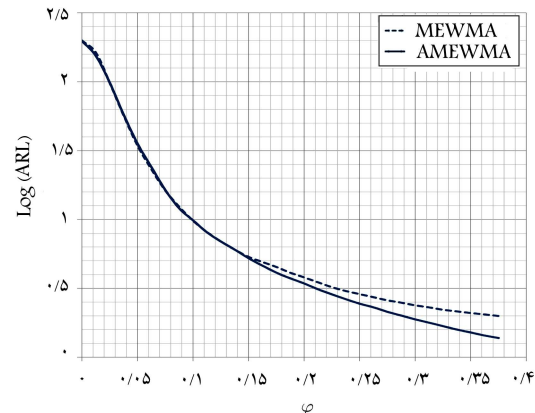
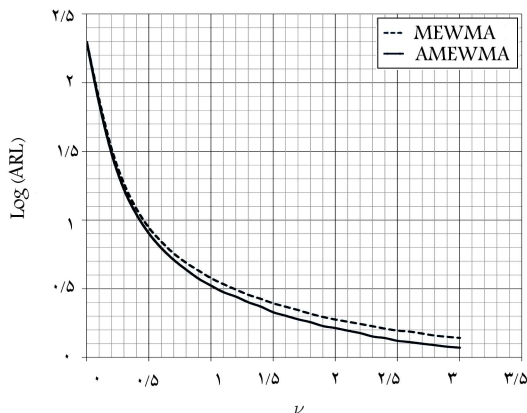
در رابطه‌ی فوق γ یک بردار $(p+1)$ از مقادیر ثابت است که مقدار آن از طریق سعی و خطای در شبیه‌سازی به دست می‌آید تا ضمن کسب ARL تحت کنترل 20° ، بهترین عملکرد نمودار در کشف شیفت‌های ایجاد شده در پارامترهای فرازیند به دست آید. مشاهده می‌شود که وقتی ارزش قدر مطلق خطای پیش‌بینی $-\gamma$ — یعنی $(z_j^T - w_{j-1}^T)(\Sigma^{-0.5}\gamma)$ — کوچک است، رابطه‌ی max در مخرج مقدار ۱ را اتخاذ می‌کند و در نتیجه مقدار 0 برابر λ و آماره‌ی نمودار کنترل AMEWMA مشابه آماره‌ی نمودار کنترل MEWMA می‌شود. به علاوه، زمانی که مقدار خطای پیش‌بینی استاندارد شده بزرگ شود (به سمت بی‌نهایت بود)، مقدار مخرج رابطه بزرگ تر شده و در نتیجه θ افزایش می‌یابد تا عملکرد نمودار در کشف شیفت‌های متوسط تا بزرگ بهبود بخشد. در نهایت مقدار θ به سمت ۱ همگرا می‌شود و در نتیجه، نمودار کنترل MEWMA به یک نمودار کنترل شوهرات تبدیل می‌شود. نمودار کنترل AMEWMA نیز مشابه نمودار کنترل MEWMA زمانی هشدار می‌دهد که رابطه‌ی 7 برقرار باشد.

۴. مقایسه‌ی عملکرد

در این بخش از طریق دو مثال، و محاسبه‌ی معیار ARL تحت ستاریوهای مختلف، عملکرد نمودار کنترل پیشنهادی (AMEWMA) با نمودار کنترل MEWMA مقایسه شده است. در مثال اول یک پروفایل خطی ساده در نظر گرفته شده و مثال دوم به بررسی عملکرد دو روش در پایش یک پروفایل خطی چندگانه می‌پردازد. مثال ۱. در این مثال یک پروفایل خطی ساده مشابه پروفایل خطی ساده ذکر شده در مقاله‌ی کنگ و آلبین^[۱] و زو و همکاران^[۲] استفاده شده است. در این مثال

جدول ۲. مقایسه‌ی ARL بین نمودارهای کنترل MEWMA و AMEWMA برای کشف شیفت‌های $\delta\sigma$, $\delta\beta_1$ و $\delta\beta_0$ به ترتیب در پارامترهای β_0 , β_1 و σ .

σ	β_1			β_0					
	MEWMA	AMEWMA	ν	MEWMA	AMEWMA	φ	MEWMA	AMEWMA	δ
۱۹۶,۵۷	۱۹۷,۸۹	۰		۱۹۸,۹۱	۱۹۷,۱۱	۰	۱۹۸,۷۴	۱۹۸,۹	۰
۷۴,۸۷	۷۱,۰۱	۰,۱		۱۶۲,۱۳	۱۵۳,۶۹	۰,۰۱۲۵	۱۳۰,۲۴	۱۲۵,۶۳	۰,۱
۳۲,۸۱	۳۰,۵۹	۰,۲		۹۷,۹	۹۸,۲۳	۰,۰۲۵۰	۶۰	۶۰,۰۹۳	۰,۲
۱۸,۳۱	۱۶,۷	۰,۳		۵۶,۸۴	۵۷,۶۱	۰,۰۳۷۵	۲۹,۴۳	۲۹,۳۵	۰,۳
۱۲,۰۴	۱۰,۹۸	۰,۴		۳۴,۳۹	۳۵,۴۶	۰,۰۵	۱۷,۰۵	۱۷,۰۴	۰,۴
۸,۷۸	۷,۹۸	۰,۵		۲۳,۱۳	۲۳,۹۶	۰,۰۶۲۵	۱۱,۴۶	۱۱,۳۱	۰,۵
۶,۹۵	۶,۲۴	۰,۶		۱۶,۲۲	۱۶,۳۳	۰,۰۷۵	۸,۴۹	۸,۴۷	۰,۶
۵,۷	۵,۱۱	۰,۷		۱۲,۳۲	۱۲,۰۴	۰,۰۸۷۵	۶,۴۹	۶,۴۸	۰,۷
۴,۸۷	۴,۳۴	۰,۸		۹,۷۷	۹,۸۳	۰,۱	۵,۴۹	۵,۲۱	۰,۸
۳,۷۶	۳,۳۲	۱		۶,۹۲	۶,۹۱	۰,۱۲۵	۴,۰۹	۳,۶	۱
۳,۱۱	۲,۷۸۵	۱,۲		۵,۳۴	۵,۲۲	۰,۱۵	۳,۳	۲,۶۹	۱,۲
۲,۶۶	۲,۳۳	۱,۴		۴,۵۱	۴,۱	۰,۱۷۵	۲,۷۸	۲,۰۹	۱,۴
۲,۳۳	۲	۱,۶		۳,۷۹	۳,۴۲	۰,۲	۲,۴۴	۱,۶۸	۱,۶
۲,۰۷	۱,۸	۱,۸		۳,۲۲	۲,۸۵	۰,۲۲۵	۲,۱۹	۱,۴۲	۱,۸
۱,۸۸	۱,۶۳	۲		۲,۸۶	۲,۴۴	۰,۲۵	۲,۰۲	۱,۲۲	۲
۱,۷۵	۱,۴۹	۲,۲		۲,۵۸	۲,۱۳	۰,۲۷۵	۱,۹	۱,۱۱	۲,۲
۱,۵۳	۱,۲۹	۲,۶		۲,۲	۱,۶۷	۰,۲۲۵	۱,۶۳	۱,۰۲	۲,۶
۱,۶۱	۱,۳۸	۲,۴		۲,۳۷	۱,۸۷	۰,۳	۱,۷۸	۱,۰۵۶	۲,۴
۱,۴۳	۱,۲۲	۲,۸		۲,۰۹	۱,۵۱	۰,۳۵	۱,۴۸	۱	۲,۸
۱,۳۸	۱,۱۷	۳		۱,۹۹	۱,۳۷	۰,۳۷۵	۱,۳۲	۱	۳


 شکل ۳. منحنی ARL شیفت‌های ایجاد شده در شبیه‌پروفایل خطی ساده از β_1 از σ به $\beta_1 + \delta\sigma$.

$$X^T = \begin{pmatrix} 1 & 1 & 1 & 1 & 1 & 1 & 1 & 1 \\ 2 & 4 & 6 & 8 & 2 & 4 & 6 & 8 \\ 1 & 2 & 3 & 2 & 1 & 4 & 3 & 2 \\ 1 & 3 & 2 & 4 & 1 & 3 & 2 & 4 \end{pmatrix}$$

برای هر دو نمودار کنترل AMEWMA و MEWMA از طریق 10^{0000} شیوه‌سازی متوسط طول دنباله‌ی خارج از کنترل تحت شیفت‌های مختلف بر حسب سیگما در پارامترهای β_0 , β_1 , β_2 , σ به دست آمده و نتایج آن در جدول ۳ خلاصه شده است. چنان‌که مشاهده می‌شود، روش پیشنهادی در کشف شیفت‌های کوچک

$\gamma = 1$, $\beta_2 = 1$, $\beta_1 = 0, 5, 5, 5, 5, 5, 5, 6$ است. ضریب هموارسازی L نیز مانند مثال قبل برابر با $0,015$ انتخاب شده است. مقدار L نیز مانند رویه‌ی مثال قبل، برای نمودار کنترل AMEWMA برابر با $16,24$ و برای نمودار کنترل MEWMA برابر با $15,7$ انتخاب شده است تا متوسط طول دنباله‌ی تحت کنترل دو نمودار کنترل AMEWMA و MEWMA در حالت پروفایل خطی چندگانه برابر با 200 شود. در نتیجه رابطه‌ی پروفایل خطی چندگانه چنین نشان داده می‌شود:

$$y_{ij} = 3 + 2x_{i1} + x_{i2} + x_{i3} + \varepsilon_{ij},$$

مقادیر X در قالب ماتریس طراحی 12 زیر نشان داده شده است:

جدول ۳. مقایسه‌ی ARL بین نمودارهای کنترل MEWMA و AMEWMA برای کشف شیفت‌های $\delta\sigma$, $\tau\sigma$, $\varsigma\sigma$ و $\nu\sigma$ به ترتیب در پارامترهای β_0 , β_1 , β_2 و β_3 .

σ	β_2			β_3			β_1			β_0						
	**	*	ν	**	*	ζ	**	*	τ	**	*	φ	**	*	δ	
۱۹۷,۹۹	۱۹۹,۶۲	۰,۰	۱۹۷,۴	۲۰	۱,۸۵	۰,۰	۱۹۷,۷۶	۱۹۹,۵۱	۰,۰	۱۹۶,۶۳	۱۹۸,۳۱	۰,۰	۱۹۸,۹۷	۱۹۹,۴	۰,۰	
۵۷,۸	۵۵,۵۴	۰,۱	۱۸۱,۴۷	۱۷۷,۷۹	۰,۰	۱۲۵	۱۸۲,۲۶	۱۷۹,۳۷	۰,۰	۱۲۵	۱۴۱,۳۱	۱۴۱,۱	۰,۰	۱۰۹,۱۳	۱۰۷,۷	۰,۱
۲۱,۳۷	۲۱,۰۲	۰,۲	۱۴۴,۲۵	۱۴۰,۶	۰,۰	۲۵	۱۴۵,۴	۱۴۳,۹۱	۰,۰	۲۵	۷۶,۲۷	۷۶,۱۳	۰,۰	۴۰,۲۴	۴۰,	۰,۲
۱۱,۰۶	۱۱,۲۳	۰,۳	۱۰۶,۷۸	۱۰۶,۷۸	۰,۰	۳۷۵	۱۰۶,۳۳	۱۰۶,۱	۰,۰	۳۷۵	۳۹,۵۸	۳۹,۲۹	۰,۰	۱۹,۴۸	۱۹,۰۷	۰,۳
۷,۷۰	۷,۳۵	۰,۴	۷۶,۱۴	۷۶,۱	۰,۰	۵	۷۵,۳۸۹	۷۵,۴۵	۰,۰	۵	۲۲,۲۵	۲۲,۲۴	۰,۰	۱۰,۸۶	۱۰,۹۵	۰,۴
۵,۸۳	۵,۴۳	۰,۵	۵۳,۸۵	۵۳,۷۲	۰,۰	۶۲۵	۵۴,۲۲	۵۳,۷۶	۰,۰	۶۲۵	۱۴,۹۱	۱۴,۷۲	۰,۰	۷,۵۶	۷,۴۴	۰,۵
۴,۶۱	۴,۳۱	۰,۶	۳۸,۸۶	۳۸,۷۲	۰,۰	۷۵	۳۹,۶۹	۳۹,۵۹	۰,۰	۷۵	۱۰,۵	۱۰,۴۸	۰,۰	۵,۷۸	۵,۴۳	۰,۶
۳,۸۶	۳,۵۹	۰,۷	۲۸,۷	۲۸,۸۶	۰,۰	۸۷۵	۲۹,۲۵	۲۹,۱۷۹	۰,۰	۸۷۵	۸,۰۷	۷,۹۷	۰,۰	۴,۶۹	۴,۳۱	۰,۷
۳,۳۵	۳,۱۱	۰,۸	۲۲,۷۵	۲۲,۶۳	۰,۱	۴۵	۲۲,۴۵	۲۲,۲۱	۰,۱	۴۵	۶,۵۸	۶,۵۱	۰,۱	۳,۹۸	۳,۴۷	۰,۸
۲,۹۴	۲,۷	۰,۹	۱۷,۵۷	۱۷,۴۸	۰,۰	۱۱۲۵	۱۷,۵۲	۱۸,۲	۰,۰	۱۱۲۵	۵,۵۶	۵,۴	۰,۰	۳,۴۶	۲,۸۷	۰,۹
۲,۶۴	۲,۴۳	۱	۱۴,۴۹	۱۴,۳۵	۰,۰	۱۲۵	۱۴,۴	۱۴,۲۲	۰,۰	۱۲۵	۴,۸۸	۴,۵۸	۰,۰	۳,۰۷	۲,۴۳	۱
۲,۱۹	۲,۰۴	۱,۲	۱۰,۵	۱۰,۵	۰,۰	۱۵	۱۰,۳۹	۱۰,۲۳	۰,۰	۱۵	۳,۸۶	۳,۵۳	۰,۰	۲,۵۴	۱,۷۸	۱,۲
۱,۸۹	۱,۷۷	۱,۴	۸,۰۶	۷,۹۹	۰,۰	۱۷۵	۸,۰۸	۷,۹۵	۰,۰	۱۷۵	۳,۲۲	۲,۸۳	۰,۰	۲,۲۱	۱,۳۸	۱,۴
۱,۶۶	۱,۵۶	۱,۶	۶,۶۳	۶,۳۹	۰,۲	۵۷	۶,۴۱	۶,۴۱	۰,۰	۵۷	۲,۷۹	۲,۳۳	۰,۰	۲,۰۲	۱,۱۶	۱,۶
۱,۴۸	۱,۴۳	۱,۸	۵,۵۸	۵,۳۵	۰,۰	۲۲۵	۵,۵۶	۵,۳۱	۰,۰	۲۲۵	۲,۴۸	۱,۹۵	۰,۰	۱,۸۹	۱,۰۶	۱,۸
۱,۳۸	۱,۳۱	۲	۴,۸۵	۴,۵۳	۰,۰	۲۵	۴,۸۴	۴,۴۹	۰,۰	۲۵	۲,۲۴	۱,۶۶	۰,۰	۱,۷۴	۱,۰۱۶	۲
۱,۲۸	۱,۲۳	۲,۲	۴,۲۹	۳,۹۴	۰,۰	۲۷۵	۴,۲۸	۳,۹۳	۰,۰	۲۷۵	۲,۰۹	۱,۴۱	۰,۰	۱,۵۲	۱	۲,۲
۱,۲	۱,۱۷	۲,۴	۳,۸۴	۳,۴۵	۰,۳	۳,۸۳	۳,۴۲	۳,۴۲	۰,۰	۳,۸۳	۱,۹۸	۱,۲۷	۰,۰	۱,۳۱	۱	۲,۴
۱,۱۵	۱,۱۳	۲,۶	۳,۵۱	۳,۰۷	۰,۰	۳۲۵	۳,۵۱	۳,۰۲	۰,۰	۳۲۵	۱,۹	۱,۱۵	۰,۰	۱,۱۵	۱	۲,۶
۱,۱۲	۱,۱	۲,۸	۳,۲۳	۲,۷۱	۰,۳۵	۳,۲۳	۲,۷	۰,۳۵	۰,۰	۳۲۵	۱,۸	۱,۰۹	۰,۰	۱,۰۵	۱	۲,۸
۱,۰۹	۱,۰۷	۳	۲,۴۵	۲,۴۵	۰,۰	۳۷۵	۲,۹۷	۲,۴۲	۰,۰	۳۷۵	۱,۶۸	۱,۰۴	۰,۰	۱,۰۱	۱	۳

*: AMEWMA

**: MEWMA

رگرسیون رخ دهد، نمودار پیشنهادی همانند نمودار کنترل MEWMA در حالت غیر تطبیقی عمل می‌کند ولی در کشف شیفت‌های متوسط ضریب هموارسازی همان مقدار ابتدایی را به خود می‌گیرد و این باعث می‌شود که عملکرد نمودار کنترل میانگین متحرک موزون نمایی چندمتغیره تطبیقی در کشف شیفت‌های کوچک همانند نمودار کنترل MEWMA در حالت غیر تطبیقی باشد. عملکرد روش پیشنهادی (AMEWMA) در مقایسه با MEWMA پیشنهادی محققین [۷] از طریق شبیه‌سازی و مقایسه متوسط طول دنباله مورد بررسی قرار گرفت. نتایج نشان داد که عملکرد روش پیشنهادی به طور قابل ملاحظه در کشف شیفت‌های متوسط تا بزرگ در نظر گرفته شد تا عملکرد نمودار کنترل MEWMA پیشنهاد شده توسط زو و همکاران [۷] را در کشف شیفت‌های متوسط تا بزرگ در پیش‌نیازهای خطی ساده و چندگانه بهتر از روش MEWMA پیشنهادی محققین [۷] است.

بررسی سایر روش‌های تطبیقی نظری VSS و VSSI به صورت جداگانه یا همزمان با ضریب هموارسازی تطبیقی، استفاده از نمودار کنترل مجزا از سایر پارامترها برای پایش واریانس و همچنین استفاده از توان یا ریشه‌یابی از خطای پیش‌بینی در رابطه ۹ برای حساسیت بیشتر به انحرافات به وجود آمده، در پایش پروفایل‌های خطی بهوسیله‌ی نمودار کنترل MEWMA می‌تواند به عنوان مطالعات آتی در این راستا پیشنهاد شود.

همانند نمودار کنترل MEWMA [۷] عمل می‌کند ولی در کشف شیفت‌های متوسط تا بزرگ ایجاد شده در پارامترهای β_0 , β_1 , β_2 و β_3 و عملکرد بهتری نسبت به نمودار کنترل MEWMA [۷] دارد.

۵. نتیجه‌گیری

در این نوشتار یک نمودار کنترل تطبیقی MEWMA ارائه شد که در آن ضریب هموارسازی به صورت تطبیقی در نظر گرفته شد تا عملکرد نمودار کنترل MEWMA پیشنهاد شده توسط زو و همکاران [۷] را در کشف شیفت‌های متوسط تا بزرگ در پیش‌نیازهای خطی چندگانه در فاز ۲ بهبود دهد. در روش ارائه شده مقدار ضریب هموارسازی (۸) با افزایش شیفت از طریق بزرگ شدن خطای پیش‌بینی زیاد می‌شود تا عملکرد نمودار MEWMA در کشف شیفت‌های متوسط تا بزرگ در پارامترهای رگرسیون بهبود یابد. به عبارت دیگر وقتی مقدار شیفت بزرگ می‌شود، ضریب هموارسازی بزرگ و نمودار کنترل MEWMA به نمودار کنترل شوهرارت نزدیک شده و این باعث می‌شود که عملکرد آن در کشف شیفت‌های متوسط تا بزرگ بهبود یابد؛ اما هنگامی که شیفت‌های کوچک در پارامترهای

پژوهش‌ها

1. adaptive
2. multivariate exponentially weighted moving average (MEWMA)
3. average run length (ARL)
4. statistical process control (SPC)
5. sample size
6. sampling interval
7. control limits coefficient
8. smoothing constant
9. adaptive control chart
10. adaptive multivariate exponentially weighted moving average (AMEWMA)
11. prediction error
12. design matrix

منابع (References)

1. Kang, L. and Albin, S.L. "On-Line monitoring when the process yields a linear profile", *Journal of Quality Technology*, **32**, pp. 418-426 (2000).
2. Mestek, O., Pavlik, J. and Suchánek, M. "Multivariate control charts: Control charts for calibration curves", *Journal of Analytical Chemistry*, **350**, pp. 344-351 (1994).
3. Stover, F.S. and Brill, R.V. "Statistical quality control applied to I on chromatography calibrations", *Journal of Chromatography*, **804**, pp. 37-43 (1998).
4. Young, T.M., Winistorfer, P.M. and Wang, S. "Multivariate control charts of MDF and OSB vertical density profile attributes", *Forest product journal*, **49**, pp. 79-86 (1999).
5. Kim, K., Mahmoud, M.A. and Woodall, W.H. "On the monitoring of linear profiles", *Journal of Quality Technology*, **35**, pp. 317-328 (2003).
6. Mahmoud, M.A. and Woodall, W.H. "Phase I analysis of linear profiles with calibration applications", *Technometrics*, **46**, pp. 380-391 (2004).
7. Zou, C., Tsung, F. and Wang, Z. "Monitoring general linear profiles using multivariate exponentially weighted moving average schemes", *Technometrics*, **49**, pp. 395-408 (2007).
8. Mahmoud, M.A. "Phase I analysis of multiple linear regression profiles", *Communications in Statistics-Simulation and Computation*, **37**, pp. 2106-2130 (2008).
9. Kazemzadeh, R.B., Noorossana, R. and Amiri, A. "Phase I monitoring of polynomial profiles", *Communications in Statistics - Theory and Methods*, **37**, pp. 1671-1686 (2008).
10. Kazemzadeh, R.B., Noorossana, R. and Amiri, A. "Monitoring polynomial profiles in quality control applications", *International Journal of Advanced Manufacturing Technology*, **42**, pp. 703-712 (2009).
11. Yeh, A.B., Huwang, L. and Li, Y.M. "Profile monitoring for a binary response", *IIE Transactions, Institute of Industrial Engineers*, **41**, pp. 931-941 (2009).
12. Williams, J.D., Woodall, W.H. and Birch, J.B. "Statistical monitoring of nonlinear product and process quality profiles", *Quality and Reliability Engineering International*, **23**, pp. 925-941 (2007).
13. Vaghefi, A., Tajbakhsh, S.D. and Noorossana, R. "Phase II monitoring of nonlinear profiles", *Communications in Statistics - Theory and Methods*, **38**, pp. 1834-1851 (2009).
14. Woodall, W.H., Spitzner, D.J., Montgomery, D.C. and Gupta, S. "Using control charts to monitor process and product quality profiles", *Journal of Quality Technology*, **36**, pp. 309-320 (2004).
15. Woodall, W.H. "Current research on profile monitoring", *Revista Produção*, **17**, pp. 420-425 (2007).
16. Noorossana, R., Saghaei, A. and Amiri, A., *Statistical Analysis of Profile Monitoring*, John Wiley and Sons, Inc. (2011).
17. Tagaras, G. "A survey of recent developments in the design of adaptive control charts", *Journal of Quality Technology*, **30**, pp. 212-231 (1998).
18. Lin, Y.C. and Chou, C.Y. "Adaptive X control charts with sampling at fixed times", *Journal of Quality and Reliability Engineering International*, **21**, pp. 163-175 (2005).
19. DeMagalhaes, M.S., Costa, A.F.B. and MouraNeto, F.D. "A hierarchy of adaptive X control charts", *International Journal of Production Economics*, **119**, pp. 271-283 (2009).
20. Yang, S.F. and Su, H.C. "Adaptive control schemes for two dependent process steps", *Journal of Loss Prevention in the Process Industries*, **20**, pp. 15-25 (2007).
21. Chen, Y., Hsieh, K. and Chang, C. "Economic design of the VSSI X control charts for correlated data", *International Journal of Production Economics*, **107**, pp. 528-539 (2007).
22. Lin, Y.C. and Chou, C.Y. "Non-normality and the variable parameters X control charts", *European Journal of Operational Research*, **176**, pp. 361-373 (2007).
23. Mahmoud, M. and Zahran, A. "A multivariate adaptive exponentially weighted moving average control chart", *Communication in Statistics Theory and Methods*, **39**, pp. 606-625 (2010).
24. Capizzi, G. and Masarotto, G. "Linear profile monitoring using an adaptive EWMA control chart", IEEE International Conference on Industrial Engineering and Engineering Management, pp. 1425-1429 (2010).
25. Li, Z. and Wang, W. "An exponentially weighted moving average scheme with variable sampling intervals for monitoring linear profiles", *Computers & Industrial Engineering*, **59**, pp. 630-637 (2010).
26. Zhang, J., Li, Z. and Wang, Z. "Control chart based on likelihood ratio for monitoring linear profiles", *Computational Statistics and Data Analysis*, **53**, pp. 1440-1448 (2009).
27. Brook, D. and Evans, D.A. "An approach to the probability distribution of CUSUM run length", *Biometrika*, **59**, pp. 539-549 (1972).

28. Costa, A.F.B. "X-bar chart with variable parameters", *Journal of Quality Technology*, **31**, pp. 408-416 (1999).
29. Zhao, Y., Tsung, F. and Wang, Z.J. "Dual CUSUM scheme for detecting the range shift in the mean", *IIE Transactions*, **37**, pp. 1047-1058 (2005).
30. Capizzi, G. and Masarotto, G. "An adaptive exponentially weighted moving average control chart", *Technometrics*, **45**, pp. 199-207 (2003).
31. Woodall, W.H. "The distribution of the run length of One-sided CUSUM procedures for continuous random variables", *Technometrics*, **25**, pp. 295-301 (1983).
32. Wetherill, G.B. and Brown, D.W., *Statistical Process Control*, Chapman and Hall (1991).
33. Jones, L.A., Champ, C.W. and Rigdon, S.E. "The run length distribution of the CUSUM with estimated parameters", *Journal of Quality Technology*, **36**, pp. 95-108 (2004).
34. Sparks, R.S. "CUSUM charts for signaling varying locations shifts", *Journal of Quality Technology*, **32**, pp. 157-171 (2000).
35. Gan, F.F. "Exponentially weighted moving average control charts with reflecting boundaries", *Journal of Statistical Computation and Simulation*, **46**, pp. 45-67 (1993).
36. Reynolds, M. R., JR. "An approximation to the average run length in cumulative sum control charts", *Technometrics*, **17**, pp. 65-71 (1975).
37. Amiri, A., Eyyazian, M., Zou, C. and Noorossana, R. "A parameters reduction method for monitoring multiple linear regression profiles", *The International Journal of Advanced Manufacturing Technology*, **58**, pp. 621-629 (2012).